

山口大学 正員 會田忠義  
" 學生 小松茂生

まえがき 橋上を走行する蒸気機関車の車輪の不平衡重錘による撞打作用はもちろん、蒸気機関車でなくとも、一般的な鉄道車両のバネ作用も含め、走行にともなう軌道における周期的外力は橋面に垂直に作用しながる移動する。これらは橋のねじり回転にともなって、その作用方向がねじり回転に追従する成分をもつことが考えられる。磁力で浮上し、高速走行するリニアモーターカーでも、このことが予想される。周期的運動荷重の「はり」に与える影響は、「はり」のねじり剛性が大きい場合は小さいことが予想されるが、その程度が問題である。これらの走行荷重を受ける「はり」の問題を模型化して、移動する周期的運動荷重を受ける「はり」の問題に置換し、その動的挙動を調査するものである。本研究では、荷重の作用方向の変化のみに変形の影響を考慮し、その他は微小変形理論に基づいている。応答解析は質量をもたない連行走行荷重についてを行い、Hill型の擾乱方程式により擾乱変位の挙動を求め安定性を検討する。これにはBabolatianの近似解法を適用する。

運動方程式 Fig. 1 に示すように y 方向に荷重が作用するとき、荷重が y のねじり回転方向にのみ運動するとき仮定すると、荷重  $(0, q_y, 0)$  は  $(-q_y \theta, q_y, 0)$  に変化し、運動方程式は次式で表わされる。

$$\left. \begin{aligned} m(\ddot{U}_s + Y_s \ddot{\theta}) + EI_{xx} U_s^{(w)} + \delta_y \theta = 0 \\ m(\ddot{V}_s - X_s \ddot{\theta}) + EI_{yy} V_s^{(w)} - \delta_y = 0 \\ I \ddot{\theta} + m(Y_s \ddot{U}_s - X_s \ddot{V}_s) + EI^s A^{(w)} - GKA'' - \delta_x (E_x - x) - \delta A (C_x - y) = 0 \end{aligned} \right\} \quad \textcircled{Q}$$

ここで、 $m$ ：「はり」の単位長さ質量、 $\mu_{Ips}$ ：「はり」の慣性モーメント、 $EIx$ ,  $EIy$ ：曲げ剛性、 $EZw$ ：曲げねじり剛性、 $GK$ ：ねじり剛性、 $\delta_y$  は荷重の走行速度をV、荷重間隔をa、荷重振動数をWとするとき、

$$g_2 = \begin{cases} P_{\text{count}} \sum_{j=1}^n \delta(z - (vt + (j-1)a)) & 0 \leq t < l - (n-1)a/v \\ P_{\text{count}} \sum_{j=1}^{n-1} \delta(z - (vt + (j-1)a)) & l - (n-1)a/v \leq t \leq l/a \end{cases} \quad (z)$$

ただし、荷重振動周期  $T = 2\pi/\omega$  が荷重移動周期  $T = \theta/\omega$  の整数倍の 1 である。

すなはち、 $W = dW_0$ ,  $W_0 = 2\pi D/a$ ,  $d$ : 整数. 式中,  $\delta$ : Diracの $\delta$ 関数.  $(U_S = \sum_{k=1}^{\infty} P_k(t) \cdot U_{Sk}(x))$

$$\text{運動方程式 (1) の近似解に式 (3) を想定し, これを式 (1) に代入整理} \quad U_s = \sum_{k=1}^{\infty} \sigma_k(t) \cdot j_k(z) \quad \dots \quad (3)$$

すると、式(4)となる。 $\mu_k, \nu_k, c_k$ は時間の未知関数、 $u_{sk}, v_{sk}$ は

「けり」の曲げ振動の次の固有関数、 $\theta_2$  けねじり

振動の次の固有関数である。

$$\ddot{\rho}_k + y_s \ddot{\tau}_k + \omega_{uk}^2 \rho_k + \frac{ZP}{\ell m} \sum_{i=1}^{\infty} f_{ki}(t) \tau_i = 0$$

$$\ddot{\phi}_k - \chi_s \dot{\phi}_k + \omega_{vk}^2 \phi_k - \frac{2P}{\ell m} g_k(t) = 0$$

$$\ddot{\zeta}_R + \frac{m}{\mu_{TFS}}(y_S \ddot{\rho}_R - x_S \ddot{\zeta}_R) + \omega_{BR}^2 \zeta_R \\ + \frac{ZP(G_T - g_t)}{\mu_{TFS} \ell} \sum_{i=1}^{\infty} f_{RI}(t) \zeta_i - \frac{ZP(\epsilon_R - x_t) g_R(t)}{\mu_{TFS} \ell} = 0$$

$W_{\text{un}}, W_{\text{rn}}$  は各次の曲げ固有円振動数,  $W_{\text{OKI}}$  は各次のねじり固有円振動数であり, 単純ばかりの場合

$$f_{\text{RI}} = \int_0^L g_y U_{SR} \cdot U_{SI} dz, \quad g_R = \int_0^L g_y U_{SR} dz$$

二〇三

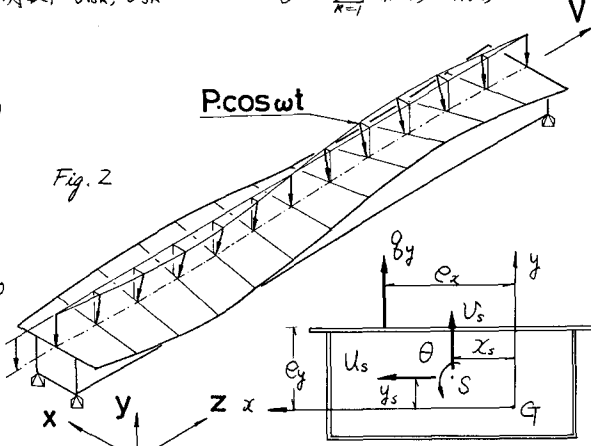


Fig. 1

式(4)は無限連立方程式であるが、式(3)をN項からなる有限級数に近似するととき、式(4)は次のようになる。

$$A\ddot{f} + B\dot{f} + P(C\dot{f} + Df) = 0 \quad (5), \quad f = \{P_1, \dots, P_N, Q_1, \dots, Q_N, Z_1, \dots, Z_N\}^T \quad (6)$$

ここで、 $D$ は式(4)の荷重項を表わす。 $B$ は対角線上に  $W_{11}, W_{22}, W_{33}$  を有するマトリックスであり、 $C$ は式(4)より明らかなるように、周期  $T = 9\pi$  をもつ周期関数である。

擾乱方程式と境界振動数方程式 ある運行中に走行減衰荷を受けて定常振動（定常解  $\bar{f}$ ）(2)の状態に、微小擾乱( $\tilde{f}$ )を与える。擾乱変位の時間的経過より、安定・不安定を判定するととき、擾乱状態の解  $f = \bar{f} + \tilde{f}$  を式(5)に代入整理することにより、次の擾乱方程式が得られる。

$$A\ddot{\tilde{f}} + (B + P(Ct))\dot{\tilde{f}} = 0 \quad (7)$$

ここで、式(4)中の  $f_{\text{ini}}$  を周期  $T = 9\pi$  をもつ Fourier 級数 (8) に展開するととき、式(7)は式(9)に等しい。

$$f_{\text{ini}} = \frac{1}{2}a_{01} + \sum_{p=1}^{\infty} (a_{p1}\cos p\omega t + b_{p1}\sin p\omega t) \quad (8)$$

$$A\ddot{\tilde{f}} + B\dot{\tilde{f}} + P \left\{ C_0 + \sum_{p=1}^{\infty} (C_{p1}\cos p\omega t + C_{p2}\sin p\omega t) \right\} \dot{\tilde{f}} = 0 \quad (9)$$

式(9)は Hill 方程式である。この方程式の解には(1)外力の周期と同じが、または 2倍の周期をもつ周期解が安定領域と不安定領域を区分するこれが知られていく。

今、外力の周期  $T = 9\pi$  の 2倍の周期をもつ周期解を  $\bar{f} = \sum_{j=1, 2, 3}^{\infty} (a_j \cos \frac{1}{2}5\omega_0 t + b_j \sin \frac{1}{2}5\omega_0 t)$  とするとき、これを式(9)に代入整理するととき、次の条件式が得られる。

$$-\frac{\eta^2}{4} \omega_0^2 A a_{p\eta} + B a_{p\eta} + P C_0 a_{p\eta} + \frac{1}{2} P \sum_{p=1}^{\infty} \{ (C_{p1} a_{p+\eta} + C_{p2} b_{p+\eta}) + (C_{p1} a_{p-\eta} + C_{p2} b_{p-\eta}) \\ + (C_{p1} a_{-p+\eta} - C_{p2} b_{-p+\eta}) + (C_{p1} a_{-p-\eta} - C_{p2} b_{-p-\eta}) \} = 0 \quad (11)$$

$$-\frac{\eta^2}{4} \omega_0^2 A b_{p\eta} + B b_{p\eta} + P C_0 b_{p\eta} + \frac{1}{2} P \sum_{p=1}^{\infty} \{ (C_{p2} a_{p+\eta} - C_{p1} b_{p+\eta}) - (C_{p2} a_{p-\eta} - C_{p1} b_{p-\eta}) \\ + (C_{p2} a_{-p+\eta} + C_{p1} b_{-p+\eta}) - (C_{p2} a_{-p-\eta} + C_{p1} b_{-p-\eta}) \} = 0 \quad (12)$$

$$\eta = 1, 3, 5, \dots$$

$a_{p\eta} = b_{p\eta}$  ( $\eta = 1, 3, 5, \dots$ ) が成立するための条件式 (13) が式(11), (12) より得られる。

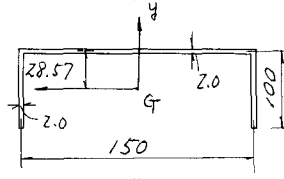
$$\left| -\frac{1}{4} \omega_0^2 [A]_1 + [B]_1 + \frac{1}{2} P [C]_1 \right| = 0 \quad (13)$$

上式が半径1不稳定性の境界振動数方程式である。特に、一定の走行速度  $V$  と荷重振動数  $W$  をもつ荷重の臨界値  $P_{cr}$  を求めると、 $V$  より  $W_0$  を計算して  $\left| -\frac{1}{4} (-\frac{W_0^2}{4} [A]_1 + [B]_1)^{-1} [C]_1 + \frac{1}{2} [E]_1 \right| = 0$  後で、式(14)を用いて計算すればよい。

解析例 下図に示す模型ばりの不安定領域を求める

Fig. 3 に表わす。

(1) はりと断面



$$l = 200.0 \text{ m}$$

$$c_y = 2.957^\circ$$

$$c_s = 6.857^\circ$$

$$c_x = x_s = 0$$

$$E = 7.1 \times 10^5 \text{ kg/cm}^2$$

$$G = 2.762 \times 10^5$$

$$\mu = 1.9357 \text{ kg/sec}^2 \text{ cm}^4$$

(荷重)

$$\text{荷重数 } n = 2, \text{ 荷重振動数 } w = 0.0$$

$$\text{荷重間隔 } a = 125.0 \text{ mm}$$

Fig. 3

